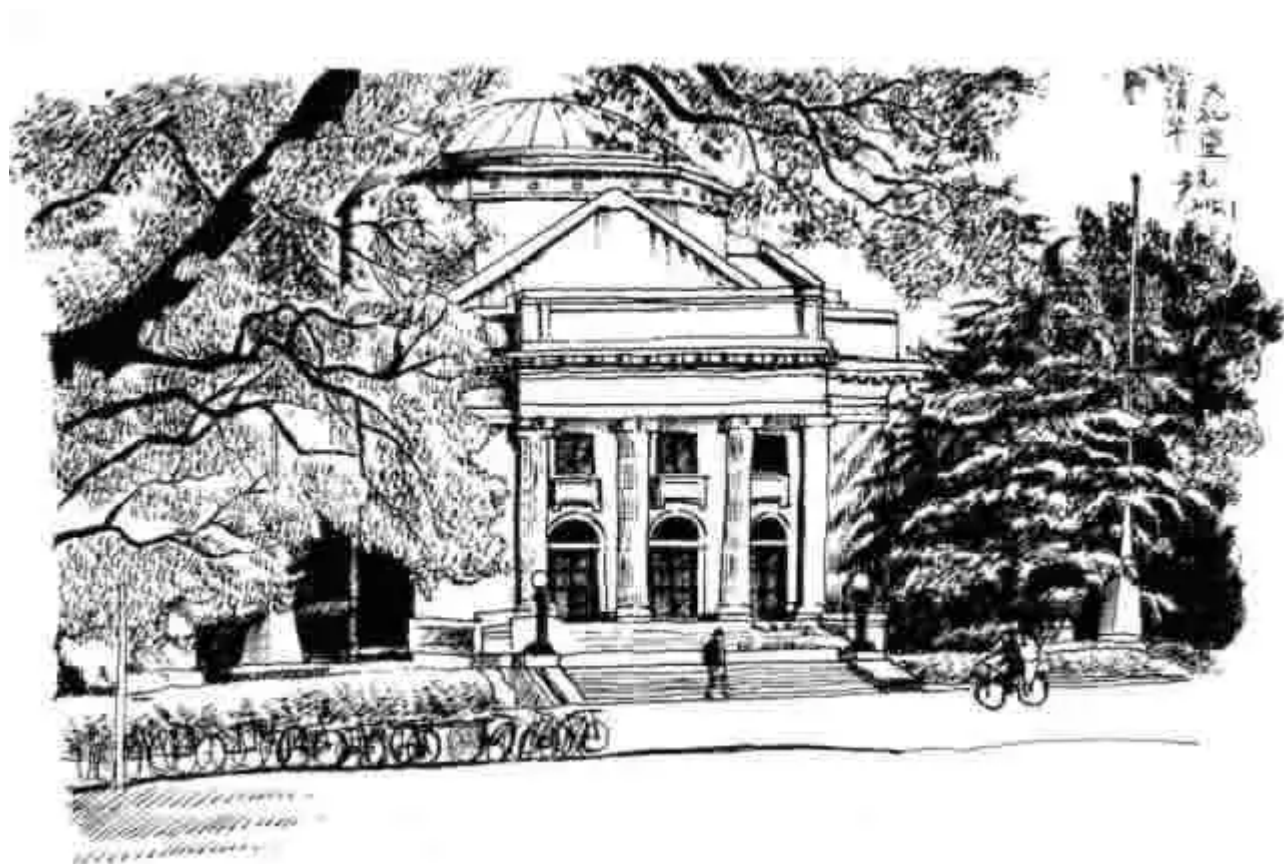


清华笔记：计算共形几何讲义（13）Koebe 迭代收敛性

顾险峰 老顾谈几何 2017-07-25



【上课时间：每周二和周四上午9:50-11:20AM；地点：清华大学，近春园西楼三楼报告厅。欢迎任何有兴趣的朋友，前来旁听指导。】

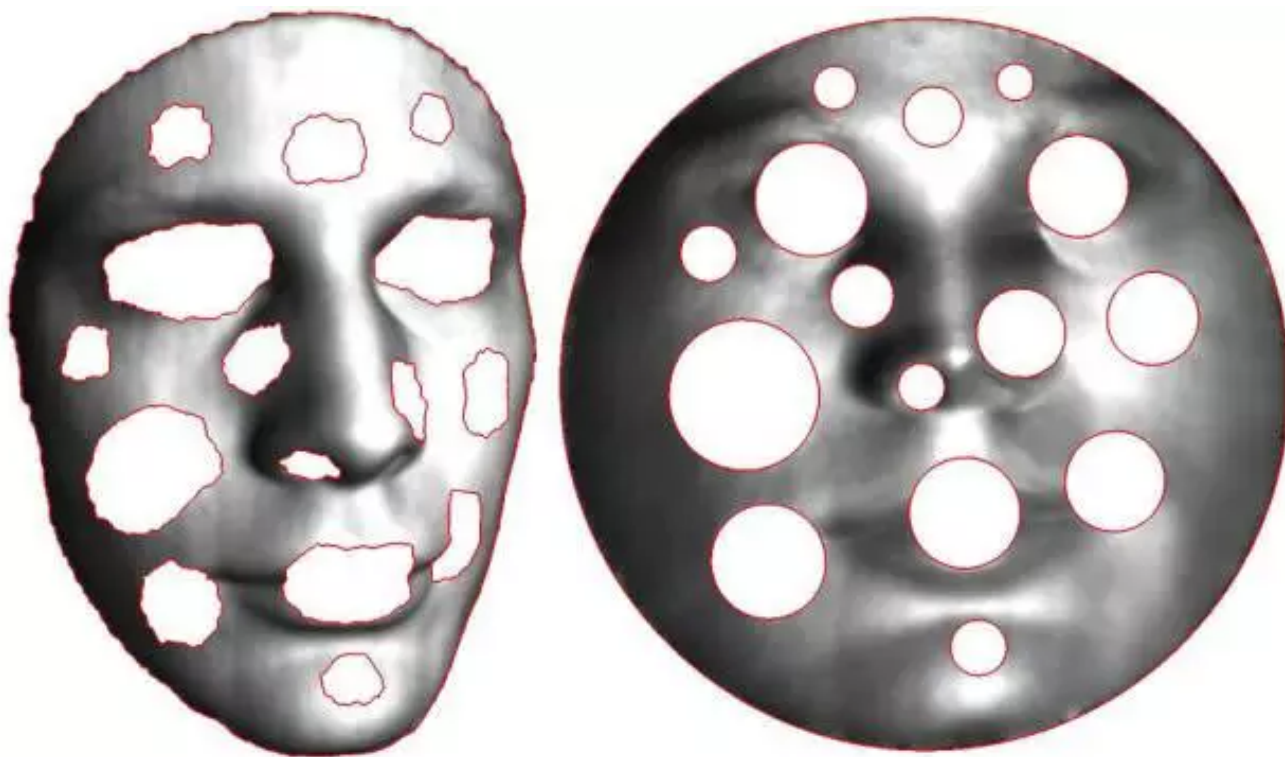
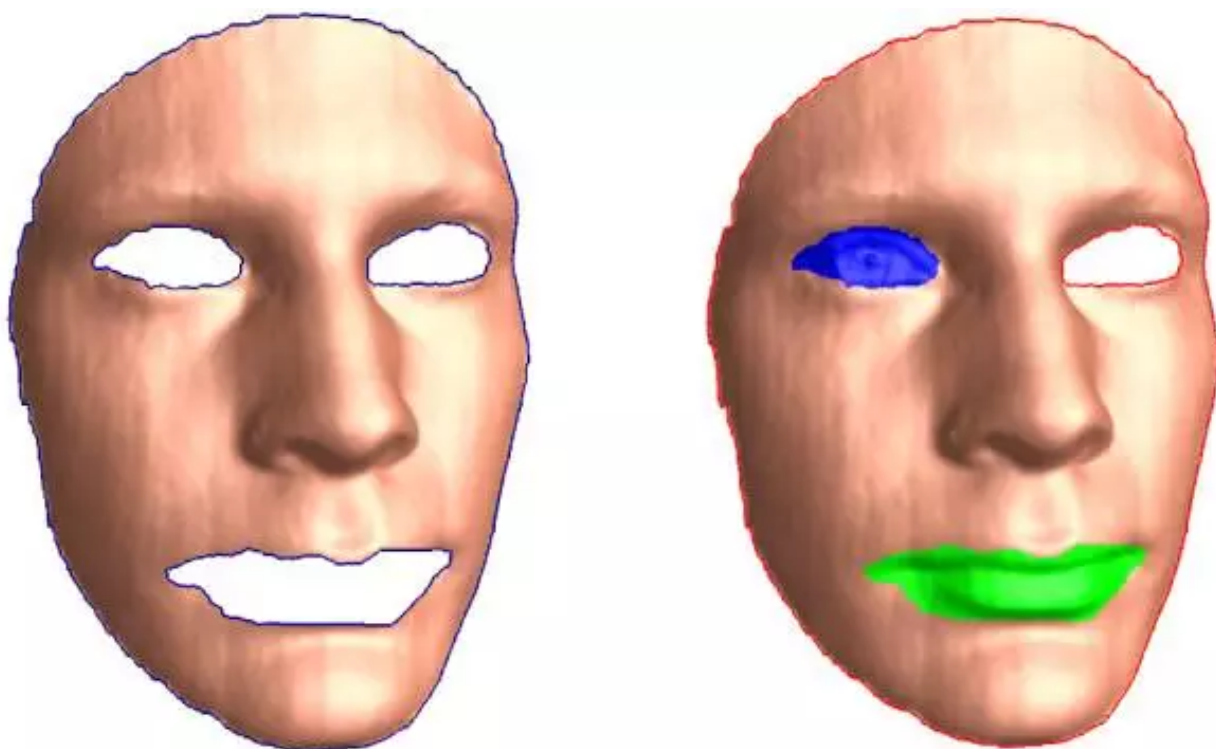
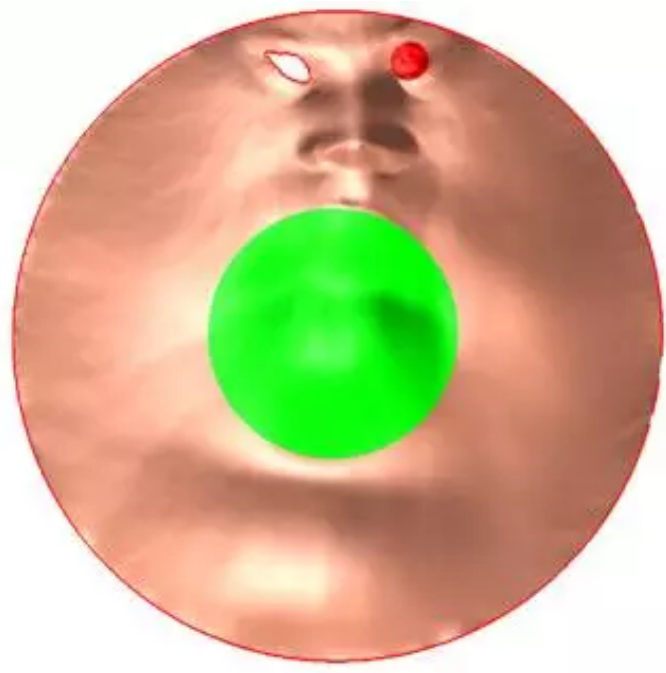
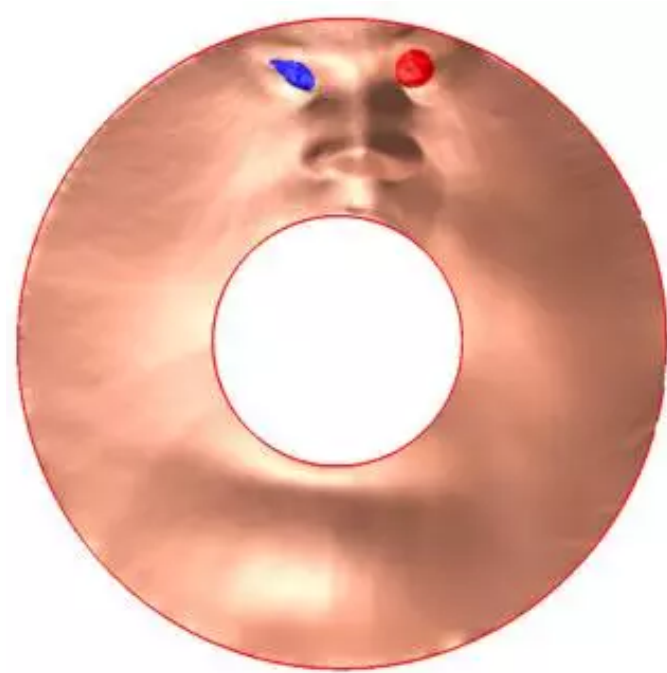
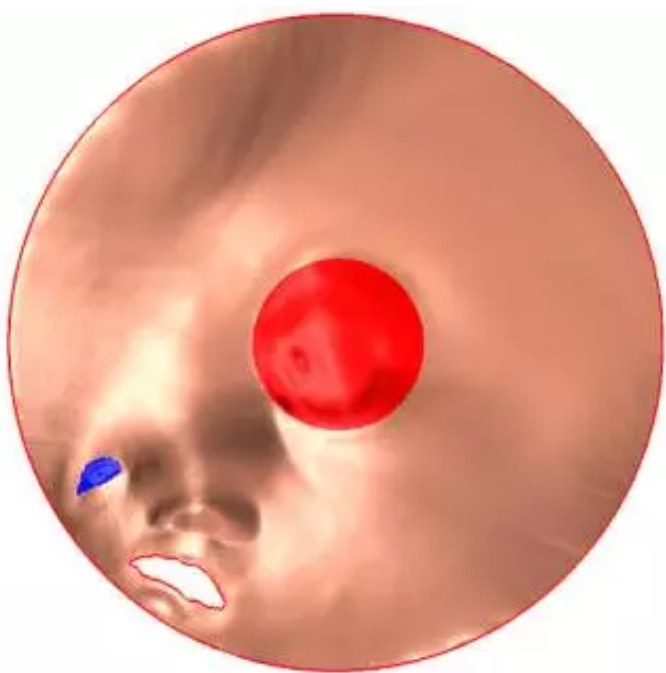
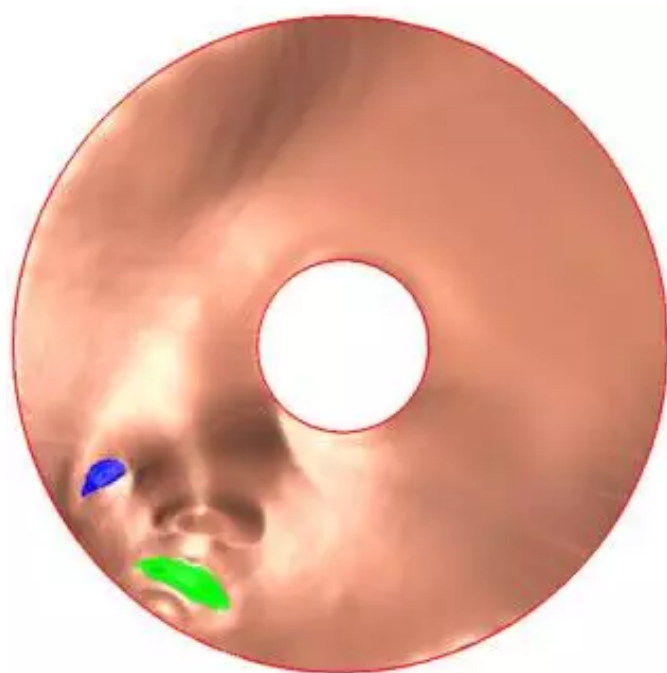


图1. 亏格为0、带有多个边界的曲面到平面圆域（Circle Domain）的共形映射。

这节课我们讲解亏格为零、带有多个边界曲面的共形模（conformal module）。如图1所示，带有多个洞的人脸曲面可以保角的映射到带有圆洞的平面圆盘（circle domain）上。这种映射彼此相差一个莫比乌斯变换。





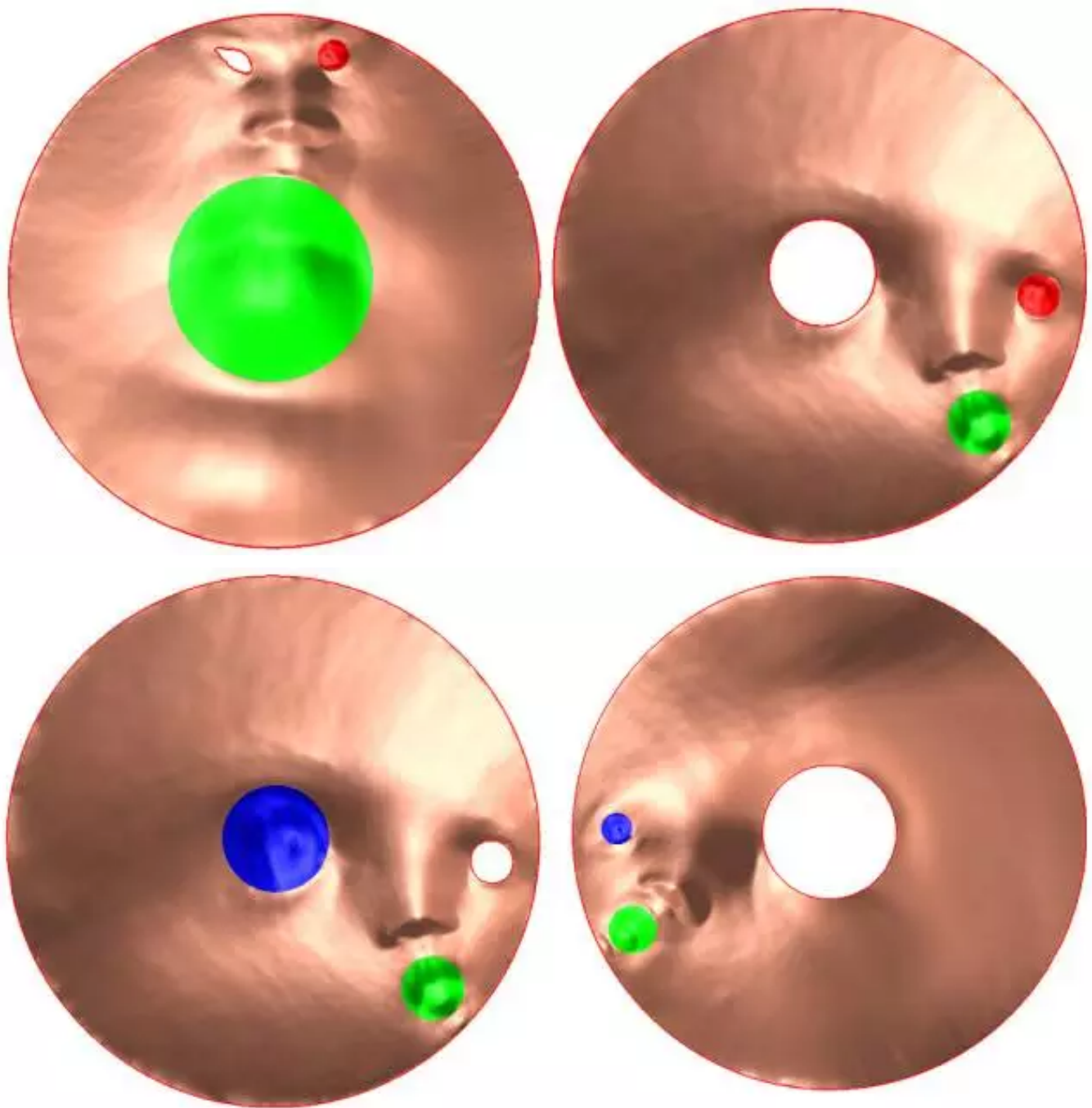


图2. Koebe迭代。

如图2所示，多联通区域到圆域（circle domain）的共形映射可以用Koebe迭代方法计算。假设多联通区域为 R ，其边界为

$$\partial R = \gamma_0 - \gamma_1 - \cdots - \gamma_n,$$

这里 γ_0 为外边界，其他 $\{\gamma_1, \gamma_2, \cdots, \gamma_n\}$ 为内边界。在第 k 步骤，我们将所有内边界填充，只留下 γ_k ，这里指标 k 代表模 n 再加上1，得到 C_k ，然后计算共形映射： $h_{k+1} : C_k \rightarrow C_{k+1}$ ，这里 C_{k+1} 是标准环带， $\partial C_{k+1} = \gamma_0 - \gamma_k$ ， γ_0, γ_k 为标准同心圆。在第 $k+1$ 步骤，我们将 C_{k+1} 的内圆 γ_k 填充，将 γ_{k+1} 打开，然后计算 $h_{k+1} : C_{k+1} \rightarrow C_{k+2}$ ，将 γ_{k+1} 映成内圆。这时，

原来的内圆 γ_k 不再是标准圆形。如此反复，所有内边界形状越来越接近圆形；以至无穷，所有内边界都收敛成标准圆形。

Koebe迭代算法优美和谐，目前为止难以被其它方法所取代。但是其收敛性的证明深奥而繁难，角标系统相对复杂。

对称

给定圆周 $\Gamma:|z-z_0|=\rho$ ，关于圆周反射定义为

$$\varphi_\Gamma:re^{i\theta}+z_0\mapsto\frac{\rho^2}{r}e^{i\theta}+z_0。$$

我没说两个平面区域 S,S' 关于圆周 Γ 对称，如果 $\varphi_\Gamma(S)=S'$ 。如果 Γ 不是圆周，区域 S,S' 和曲线 Γ 同时包含在一个平面区域 R 中，和定义在 R 上的共形映射 $f:R\rightarrow\hat{\mathbb{C}}$ ，使得 $f(\Gamma)$ 成为标准圆周， $f(S)$ 和 $f(S')$ 关于 $f(\Gamma)$ 对称，这时我们依然说 S,S' 关于曲线 Γ 对称，并记成 $S|S'(\Gamma)$ 。

Schwartz 反射准则

假设全纯函数 $F:\mathbb{C}\rightarrow\mathbb{C}$ 定义在上半平面上，同时 F 在实数轴上取值为实数，那么函数可以被延拓成定义在整个复平面上，

$$\tilde{F}(z)=\begin{cases} F(z) & \text{Im}g(z)\geq 0 \\ \overline{F(\bar{z})} & \text{Im}g(z)< 0。 \end{cases}$$

因为上半平面和单位圆盘共形等价，因此如果全纯函数 F 定义在单位圆内部，并且单位圆的取值在单位圆上，那么应用Schwartz 反射， F 可以被延拓到单位圆外部。

关键引理

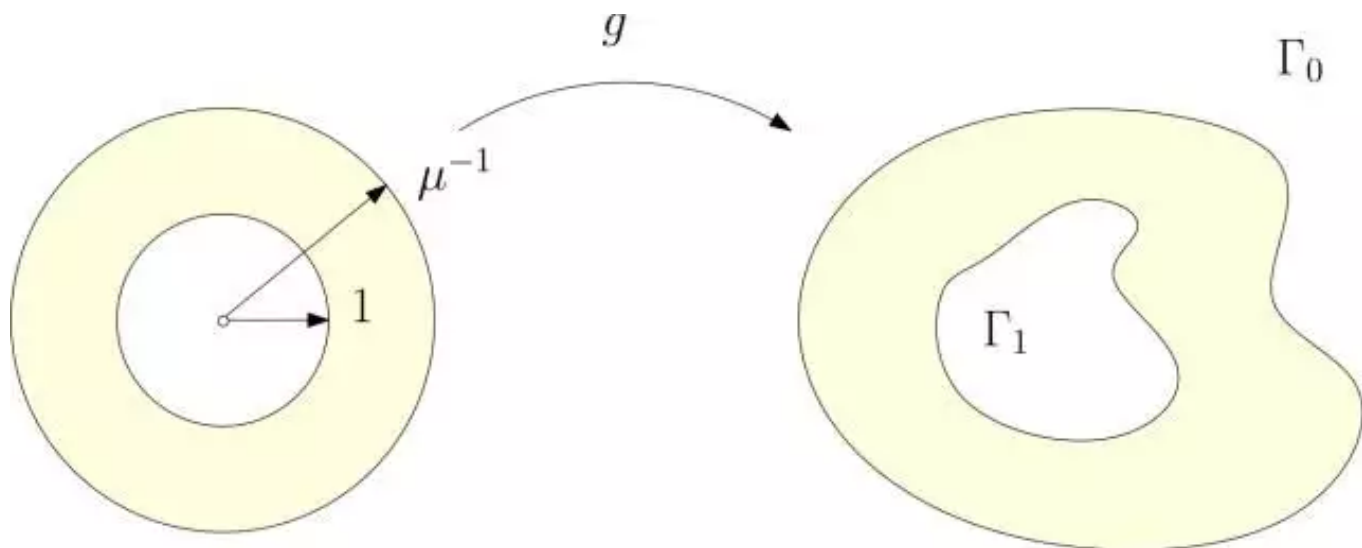


图3. 共形变换诱导的形变。

引理： 假设 A 是一个拓扑环带，具有共形模 $\mu^{-1} > 1$ ，内、外边界分别为Jordan曲线 Γ_1, Γ_0 ，那么

$$\alpha(\Gamma_1) \leq \mu^2 \alpha(\Gamma_0)$$

并且

$$[\text{diam} \Gamma_1]^2 \leq \frac{\pi}{2 \log \mu^{-1}} \alpha(\Gamma_0),$$

这里 $\alpha(\Gamma_0)$ 是曲线 Γ_0 所围绕的面积。

证明： 令全纯函数 g 将标准环带 $\{1 \leq |w| \leq \mu^{-1}\}$ 映到拓扑环带 A ,

$$g(w) = \sum_{n=-\infty}^{\infty} a_n w^n,$$

那么,

$$\alpha(\Gamma_1) = \pi \sum_{n=-\infty}^{\infty} n |a_n|^2,$$

$$\alpha(\Gamma_0) = \pi \sum_{n=-\infty}^{\infty} n |a_n|^2 \mu^{-2n},$$

因此，我们得到

$$\alpha(\Gamma_0) - \mu^{-2}\alpha(\Gamma_1) = \pi \sum_{n=-\infty}^{\infty} n|a_n|^2(\mu^{-2n} - \mu^{-2}) \geq 0.$$

直径 $\text{diam } \Gamma_1$ 被更大集合 $g(\{1 < |w| < \rho\})$ 的直径所界定，这里 $\rho \in (1, \mu^{-1})$ 。这些集合的直径被边界 $g(|w| = \rho)$ 长度的一半所界定。于是我们有

$$2 \text{ diam } \Gamma_1 \leq \int_{|w|=\rho} |g'(w)|dw = \int_0^{2\pi} |g'(\rho e^{i\theta})|\rho d\theta$$

由Schwartz引理，我们得到

$$[2 \text{ diam } \Gamma_1]^2 \leq \int_0^{2\pi} |g'(\rho e^{i\theta})|^2 \rho d\theta \int_0^{2\pi} \rho d\theta = 2\pi \rho \int_0^{2\pi} |g'(\rho e^{i\theta})|^2 d\theta$$

等价的

$$\frac{2}{\pi\rho}[\text{diam } \Gamma_1]^2 \leq \int_0^{2\pi} |g'(\rho e^{i\theta})|^2 \rho d\theta,$$

两边对 ρ 进行积分，即得第二个公式。证明完毕。

Koebe迭代

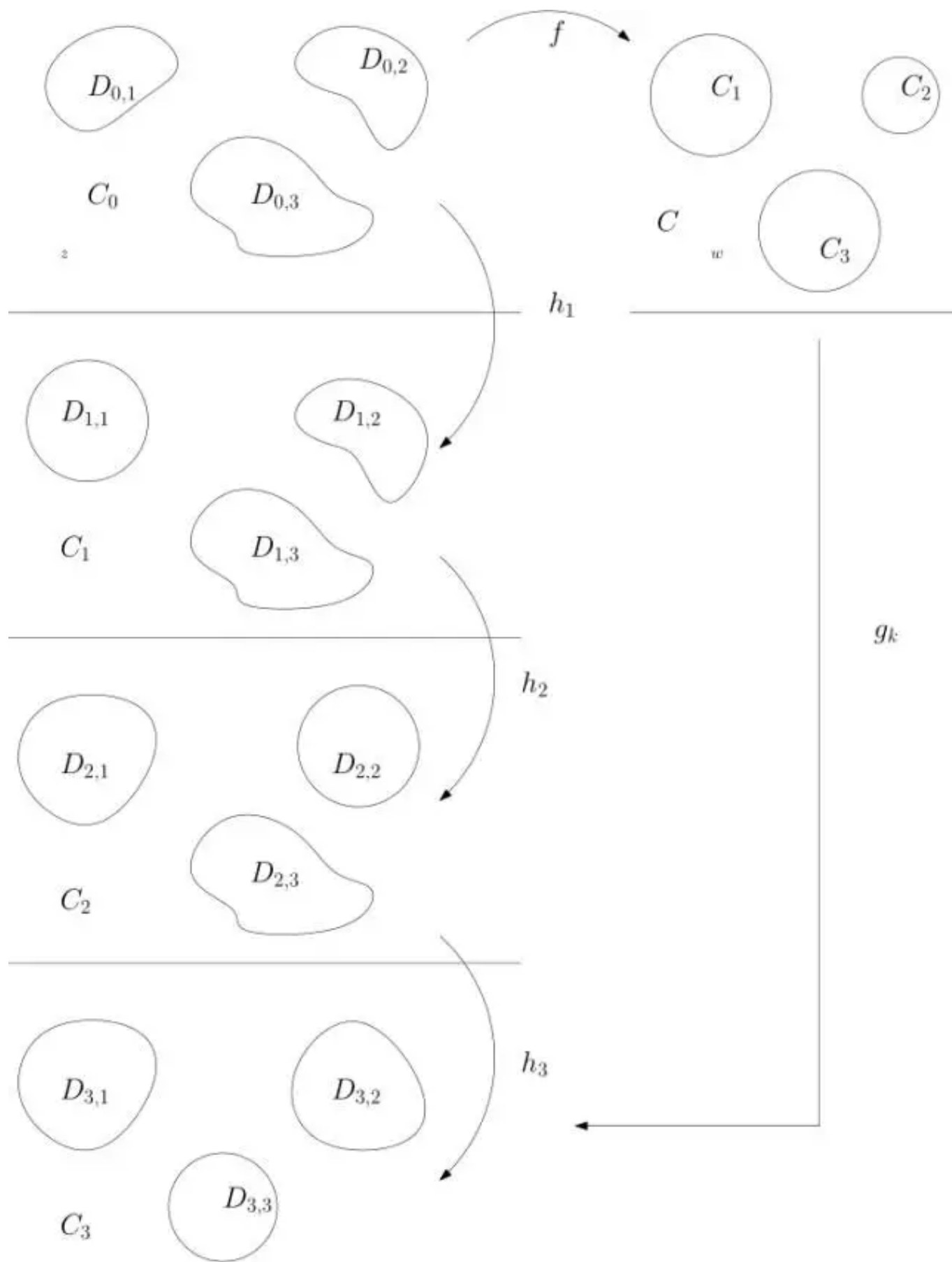


图4. Koebe's 迭代图解。

我们令 $C_0 = R$, 包含无穷远点, $\infty \in C_0$, 其在复平面上的补集为 $\{D_{0,1}, D_{0,2}, \dots, D_{0,n}\}$, 其边界为 $\partial D_{0,i} = \Gamma_{0,i}$, $i = 1, 2, \dots, n$ 。

存在双全纯函数, $f: C_0 \rightarrow C$, 将多联通区域 C_0 映到圆域 C 。圆域 C 的补集为标准圆盘 $\{C_1, C_2, \dots, C_n\}$ 。同时在无穷远点附件, 全纯函数具有归一化的形式, $f(z) = z + O(z^{-1})$ 。

应用黎曼映照, $h_1: C_0 \rightarrow C_1$, 将区域 $D_{0,1}$ 映成单位圆 $D_{1,1}$, 同时 $h_1(\infty) = \infty$, $h'_1(\infty) = 1$ 。这样 $D_{1,k} = h_1(D_{0,k})$, $k = 1, 2, \dots, n$ 。如此反复, 在第 k 步, 构造黎曼映照 $h_k: C_{k-1} \rightarrow C_k$, 将 $D_{k-1,k}$ 映成单位圆 $D_{k,k}$; h_k 在 ∞ 点归一化, $h_k(\infty) = \infty$, $h'_k(\infty) = 1$ 。我们规定记号如下:

$$C_k = h_k(C_{k-1}), D_{k,i} = h_k(D_{k-1,i}), \Gamma_{k,i} = \partial D_{k,i}$$

构造双全纯映射:

$$f_k: C_0 \rightarrow C_k, f_k = h_k \circ h_{k-1} \circ \dots \circ h_1,$$

和从圆域 C 到 C_k 的双全纯映射,

$$g_k: C \rightarrow C_k, g_k = f_k \circ f^{-1},$$

在无穷远点归一化, $g_k(\infty) = \infty$, $g'_k(\infty) = 1$ 。

因为 $\Gamma_{1,1}$ 是标准单位圆, C_1 能够关于 $\Gamma_{1,1}$ 进行反射, 其镜像记为 C_1^1 。黎曼映照 h_k , $k = 2, 3, \dots, n$ 定义在 $C_k \cup D_{k,1}$ 上, 区域

$$C_k^1 := h_k \circ h_{k-1} \circ \dots \circ h_2(C_1^1), \quad k = 2, \dots, n,$$

满足

$$C_k^1|_{C_k} (\Gamma_{k,1}).$$

映射 h_{n+1} 在 $D_{n,1}$ 上没有定义, 但是它将边界 $\partial D_{n,1} = \Gamma_{n,1}$ 映成标准圆, 根据对称性原则, h_{n+1} 可以被延拓, 延拓后的 h_{n+1} 将 C_n^1 映成 C_{n+1}^1 , 并且

$$C_{n+1}^1|_{C_{n+1}} (\Gamma_{n,1}).$$

重复迭代过程, 我们得到一个序列 $\{C_{k,1}\}$, 满足对称关系:

$$\forall k \geq 1, C_k^1 | C_k \quad (\Gamma_{k,1}).$$

同样, $\Gamma_{2,2}$ 是标准圆, C_2^2 是 C_2 关于 $\Gamma_{2,2}$ 的对称像,

$$C_k^2 := h_k \circ h_{k-1} \circ \cdots \circ h_3(C_2^2),$$

这里, 每个 h_{kn+2} 映射都需要用反射原则 (reflection principle) 来解析延拓。我们有对称关系:

$$\forall k \geq 2, C_k^2 | C_k \quad (\Gamma_{k,2}).$$

同样, 对于任意的 $i = 3, \dots, n$, $k \geq i$, 我们定义区域 C_k^i , 使得对称关系成立:

$$\forall k \geq i, C_k^i | C_k \quad (\Gamma_{k,i}).$$

经过第一轮迭代, 所有的区域 C_k^i , $i = 1, 2, \dots, n$ 都被定义。因为 $\Gamma_{n+1,1}$ 再度成为单位圆, 我们定义 C_{n+1}^{i1} 为 C_{n+1}^i 关于 $\Gamma_{n+1,1}$ 的反射图像。 $C_{n+1}^{11} = C_{n+1}$, 但是其他的 C_{n+1}^{i1} 为新生成的区域。应用延拓后的黎曼映照, 我们得到一系列的镜像区域:

$$C_k^{i1} | C_k^i, \quad (\Gamma_{k,1}) \quad \forall k \geq n+1, i = 2, \dots, n,$$

同样, 我们可以定义镜像区域:

$$C_k^{ij} | C_k^i, \quad (\Gamma_{k,j}) \quad \forall k \geq n+j,$$

经过 m 轮迭代, 我们得到 m 重镜像 $C_k^{i_1 i_2 \cdots i_m}$, 满足对称关系:

$$C_k^{i_1 i_2 \cdots i_m i_{m+1}} | C_k^{i_1 i_2 \cdots i_m} \quad (\Gamma_{k, i_{m+1}}), \quad k > (m+1)n.$$

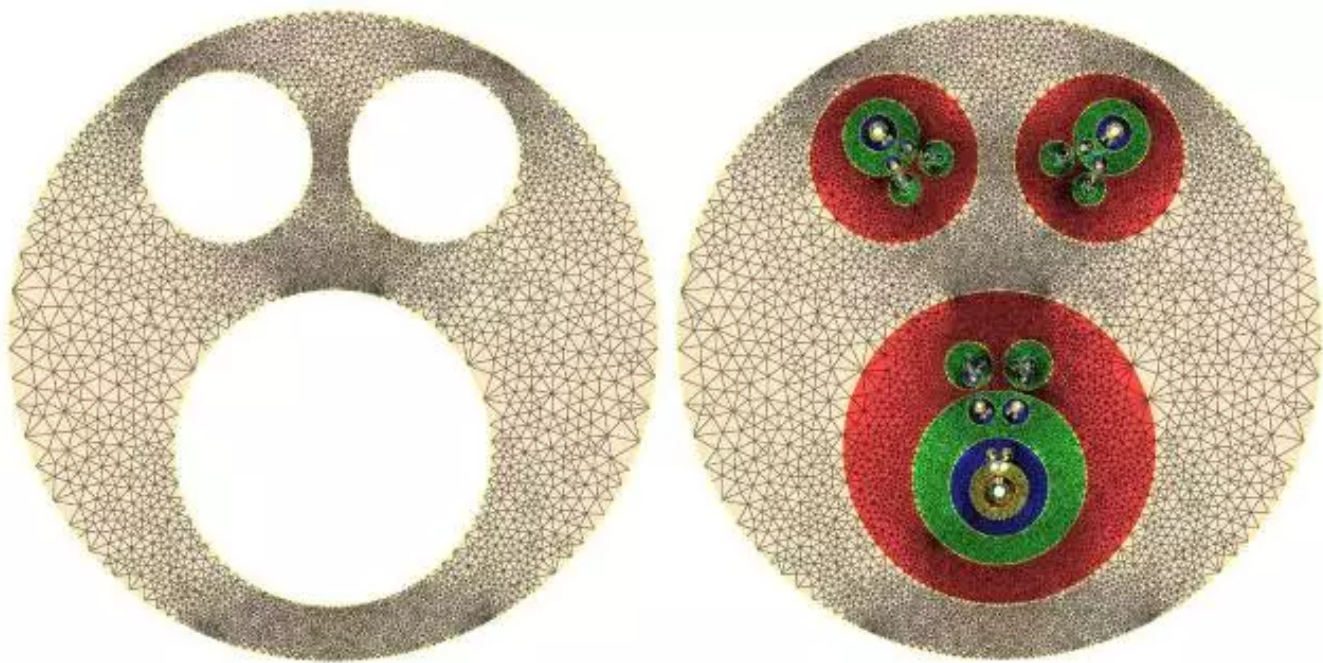


图5. 圆域上的多重镜像反射。

考察映射 $g_k^{-1} = f \circ f_k^{-1}$, 我们有

$$C = g_k^{-1}(C_k)$$

不依赖于角标 k 。同样, 所有 C_k 的多重镜像

$$C^{i_1 \cdots i_m} = g_k^{-1}(C_k^{i_1 \cdots i_m}),$$

及其边界

$$\Gamma_j^{i_1 \cdots i_m} = g_k^{-1}(\Gamma_{k,j}^{i_1 \cdots i_m}).$$

圆域 C 的 n 个边界 $\{\Gamma_j\}$ 都是圆, 彼此相离。这些边界曲线都是 $\{\Gamma_j\}$ 多重镜像, 也都彼此相离。

我们在 w -平面上进行如下操作。我们将所有的 Γ_j 同心放大, 直至有两个圆相切, 这时的圆记为 $\tilde{\Gamma}_j$, 放大系数为 $\rho = \mu^{-1}$ 。我们将 $\tilde{\Gamma}_j$ 关于 $\Gamma_{i_1}, \Gamma_{i_2}, \cdots, \Gamma_{i_m}$ 进行多重反射, 其镜像记为 $\tilde{\Gamma}_j^{i_1 i_2 \cdots i_m}$ 。

令 A_j 表示标准环带, 其边界为

$$\partial A_j = \tilde{\Gamma}_j - \tilde{\Gamma}_j^j,$$

其共形模为

$$\text{mod}(A_j) = \mu^{-2},$$

它的任意镜像都具有相同的共形模

$$\text{mod}(A_j^{i_1 i_2 \cdots i_m}) = \mu^{-2}.$$

这些标准环带在共形映射下的像也具有相同的共形模 μ^{-2} ，我们记为

$$A_{k,j}^{i_1 \cdots i_m} := g_k(A_j^{i_1 \cdots i_m}),$$

其边界为

$$\Gamma_{k,j}^{i_1 \cdots i_m} := g_k(\Gamma_j^{i_1 \cdots i_m}).$$

我们的目的是估计全纯函数 $g_k(w) - w$ ，圆域的 k 重镜像反射是

$$\hat{\mathbb{C}} \setminus \bigcup_{i_1 i_2 \cdots i_m, j \neq i_1} D_j^{i_1 i_2 \cdots i_m}$$

每个圆盘的边界为

$$\partial D_j^{i_1 i_2 \cdots i_m} = \Gamma_j^{i_1 i_2 \cdots i_m},$$

这里的指标 $(i) := i_1 i_2 \cdots i_m$ ，满足任意相邻的一对脚标不等，同时 $j \neq i_1$ 。我们选择一个足够大的圆周 Γ_ρ ，包括所有的初始补集圆盘 D_j ，对于一切属于初始圆域的点

$$w \in C = \hat{\mathbb{C}} \setminus \bigcup_{j=1}^n D_j,$$

根据柯西公式 (Cauchy formula)

$$g_k(w) - w = \frac{1}{2\pi i} \int_{\Gamma_\rho} \frac{g_k(s) - w}{s - w} ds - \sum_{(i),j} \frac{1}{2\pi i} \int_{\Gamma_j^{(i)}} \frac{g_k(s) - w}{s - w} ds,$$

因为 $g_k(w) - w = O(w^{-1})$ ，当 $\rho \rightarrow \infty$ 时

$$\frac{1}{2\pi i} \int_{\Gamma_\rho} \frac{g_k(s) - w}{s - w} ds \rightarrow 0,$$

对于余下的积分，因为 w 在所有的圆 $\Gamma_j^{(i)}$ 之外，积分

$$\frac{1}{2\pi} \int_{\Gamma_j^{(i)}} \frac{s}{s - w} ds = 0.$$

对于任意复数 $c_j^{(i)}$, 积分

$$\frac{1}{2\pi i} \int_{\Gamma_j^{(i)}} \frac{c_j^{(i)}}{s-w} ds = 0,$$

我们得到

$$g_k(w) - w = - \sum_{(i),j} \frac{1}{2\pi i} \int_{\Gamma_j^{(i)}} \frac{g_k(s) - c_j^{(i)}}{s-w} ds \quad (*)$$

令距离常数

$$\delta := \min_{i \neq j} \text{dist}(\Gamma_i, D_j^i),$$

我们有 $\delta > 0$, 因为 $\Gamma_j^{(i)} \subset D_j^{i_1}$, $|s-w| > \delta$ 。更进一步, 我们定义

$$\delta_{k,j}^{(i)} := \text{diam}(\Gamma_{k,j}^{(i)}),$$

曲线 $\Gamma_{k,j}^{(i)} = g_k(\Gamma_j^{(i)})$ 在半径为 $\delta_{k,j}^{(i)}$ 的圆中, 我们将 $c_j^{(i)}$ 选成这个圆的圆心, 那么对于一切 $s \in \Gamma_j^{(i)}$,

$$|g_k(s) - c_j^{(i)}| \leq \delta_{k,j}^{(i)},$$

积分路径的长度是 $\pi\delta_j^{(i)}$, 这里 $\delta_j^{(i)} = \text{dim}(\Gamma_j^{(i)})$, 由(*)式我们得到

$$\begin{aligned} |g_k(w) - w| &\leq \sum_{(i)} \sum_j \frac{1}{\pi\delta} \delta_{j,k}^{(i)} \delta_j^{(i)} \\ &\leq \sum_{(i)} \sum_j \frac{1}{2\pi\delta} \left([\delta_{j,k}^{(i)}]^2 + [\delta_j^{(i)}]^2 \right) \end{aligned}$$

由引理, 考虑以 $\tilde{\Gamma}_{k,j}^{(i)}, \Gamma_{k,j}^{(i)}$ 为边界的拓扑环带, 我们得到估计

$$[\delta_{k,j}^{(i)}]^2 \leq \frac{\pi}{2 \log \mu^{-1}} \alpha(\tilde{\Gamma}_{k,j}^{(i)})$$

同时,

$$[\delta_j^{(i)}]^2 = \frac{4}{\pi} \alpha(\Gamma_j^{(i)}) = \frac{4}{\pi} \mu^2 \alpha(\tilde{\Gamma}_j^{(i)}).$$

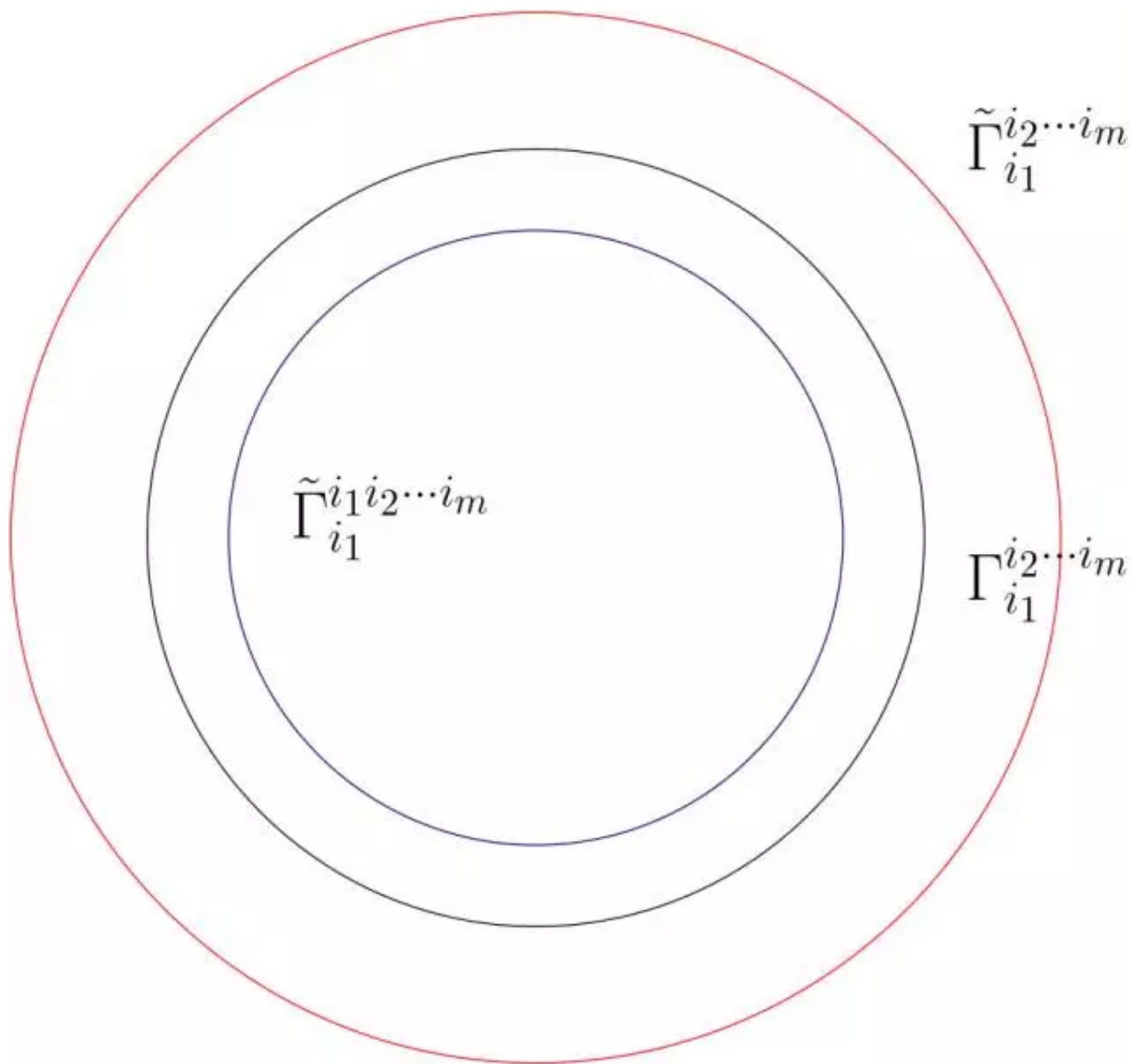


图6. 标号图解。

考察所有的圆 $\Gamma_j^{i_1 \dots i_m}, j \neq i_1$, 它们都在圆盘 $C^{i_1 \dots i_m}$ 的内部, 因为

$$C^{i_1 i_2 \dots i_m} \supset C^{i_2 \dots i_m}(\Gamma_{i_1}^{i_2 \dots i_m})$$

因此所有这些圆 $\Gamma_j^{i_1 i_2 \dots i_m}$ 都在 $\Gamma_{i_1}^{i_2 \dots i_m} = \partial C^{i_1 i_2 \dots i_m}$ 之内, 因此也都在 $\tilde{\Gamma}_{i_1}^{i_1 i_2 \dots i_m}$ 之内。我们得到不等式:

$$\sum_{(i), j} \alpha(\tilde{\Gamma}_j^{(i)}) \leq \sum_{(i)} \alpha(\tilde{\Gamma}_{i_1}^{(i)}),$$

同样的

$$\sum_{(i),j} \alpha(\tilde{\Gamma}_{k,j}^{(i)}) \leq \sum_{(i)} \alpha(\tilde{\Gamma}_{k,i_1}^{(i)}),$$

考察环带 $A_{i_1}^{i_2 \cdots i_m}$ ，其边界为

$$\partial A_{i_1}^{i_2 \cdots i_m} = \tilde{\Gamma}_{i_1}^{i_2 \cdots i_m} - \tilde{\Gamma}_{i_1}^{i_1 i_2 \cdots i_m},$$

共形模为

$$\sum_{(i)} \alpha(\tilde{\Gamma}_{i_1}^{i_1 i_2 \cdots i_m}) \leq \mu^4 \sum_{(i)} \alpha(\tilde{\Gamma}_{i_1}^{i_2 \cdots i_m}).$$

同理，考察 g_k 的像，

$$\sum_{(i)} \alpha(\tilde{\Gamma}_{k,i_1}^{i_1 i_2 \cdots i_m}) \leq \mu^4 \sum_{(i)} \alpha(\tilde{\Gamma}_{k,i_1}^{i_2 \cdots i_m}).$$

所有圆 $\tilde{\Gamma}_{i_1}^{i_2 \cdots i_m}$ 都包含在 $\tilde{\Gamma}_{i_2}^{i_2 \cdots i_m}$ 内，因此

$$\sum_{i_1 \cdots i_m} \alpha(\tilde{\Gamma}_{i_1}^{i_2 \cdots i_m}) \leq \sum_{i_2 \cdots i_m} \alpha(\tilde{\Gamma}_{i_2}^{i_2 \cdots i_m}) \leq \mu^4 \sum_{i_2 \cdots i_m} \alpha(\tilde{\Gamma}_{i_2}^{i_3 \cdots i_m})$$

继续下去，我们得到

$$\sum_{(i),j} \alpha(\tilde{\Gamma}_j^{(i)}) \leq \mu^4 \sum_{i_1 \cdots i_m} \alpha(\tilde{\Gamma}_{i_1}^{i_2 \cdots i_m}) \leq \cdots \leq \mu^{4m} \sum_{i_m} \alpha(\tilde{\Gamma}_{i_m}),$$

最后一项求和式的值等于所有圆盘 D_{i_m} 的面积和乘以 μ^{-2} ，我们记之为 γ_1 。至此，我们得到

$$\sum_{(i),j} [\delta_j^{(i)}]^2 \leq \frac{4}{\pi} \mu^{4m} \gamma_1.$$

同样的，在 z 平面上，我们得到估计

$$\sum_{(i),j} [\delta_{k,j}^{(i)}]^2 \leq \frac{\pi}{2 \log \mu^{-1}} \mu^{4m-2} \gamma_2,$$

这里 γ_2 是所有曲线 Γ_{k,i_m} 所围区域的面积之和。

如果所有的标准圆盘 D_i 都包含在大圆 $|w| < \rho$ 之内。全纯函数 $g_k(w) = w + \cdots$ 在区域 $|w| > \rho$ 上是单值的 (univalent)，根据 Koebe 1/4 定理，圆域 C 的像 $g_k(C)$ 包含 $|z| > 4\rho$ ，由此我们得到估计

$$\gamma_2 \leq 16\pi\rho^2.$$

综上所述，我们得到最终的估计，当 $k > mn$ 时：

$$|g_k(w) - w| \leq \frac{1}{2\pi\delta} \left(\frac{\pi}{2\mu^2 \log \mu^{-1}} 16\pi\rho^2 + \frac{4}{\pi}\pi\rho^2 \right) \mu^{4m}$$

至此，我们证明了Koebe迭代算法的收敛性，给出了收敛阶。

请长按下方二维码，选择“识别图中二维码”，即可关注。



【老顾谈几何】邀请国内国际著名纯粹数学家，应用数学家，理论物理学家和计算机科学家，讲授现代拓扑和几何的理论，算法和应用。回复“**目录**”，可以浏览往期精华。

